



IRANIAN SOCIETY of
CRYSTALLOGRAPHY
and MINERALOGY

IRANIAN JOURNAL of
CRYSTALLOGRAPHY
and MINERALOGY

Vol. 16, No. 1, Spring 1387/2008

Mineral chemistry of volcanic rocks from the West of Arousan-e-Kaboudan (NE of Isfahan)

N. Bahadoran^{1, 2}, Gh. Torabi¹, J. Ahmadian², M. Murata³

1- Geology Dep., Isfahan University, Iran.

2- Geology Dep., Payame-Noor University, Isfahan, Iran.

3- Geoscience Dep, Naruto University, Japan.

E-mail: noushinbahadoran@yahoo.com

(Received: 5/2/2007, in revised form: 15/10/2007)

Abstract: Arousan -e- Kaboudan area, located about 115 km northeast of Nain (south of Choupanan), is part of Central Iran (Yazad block). The Eocene volcanic rocks of the area are composed of lavas and pyroclastic rocks. The lavas can be divided into acidic (rhyodacite) and relatively basic-basic (trachyandesite, mugearite and hawaiite) rocks. The textures of these rocks are trachytic, hyaloporphritic and poikilitic. Plagioclase (albite to andesine), alkali feldspars (sanidine-Or: 65-86%), clinopyroxene (diopside to augite), mica (biotite to phlogopite), amphibole (magnesian hastingsitic hornblende to magnesian hastingsite) and chlorite (brunsvigite) from thaerochs were analyzed by electron microprobe. Geochemical evidence and mineralogical characteristics indicate that the acidic rocks are calc-alkaline and basic rocks have shoshonitic nature. The tectonic environment, in which these rocks were formed, is probably a volcanic arc related to subduction (in the continental margin of central Iranian micro – continental).

Keywords: Volcanic rocks, Mineralogy, Mineral chemistry, Arousan-e- Kaboudan



مطالعه شیمی کانی سنگ‌های آتشفشنای ناحیه غرب عروسان کبودان (شمال شرق اصفهان)

نوشین بهادران^۱، قدرت ترابی^۲، جمشید احمدیان^۳، مامورو موراتا^۴

۱- کارشناس دانشگاه پیام نور اصفهان و دانشجوی کارشناسی ارشد دانشگاه اصفهان

۲- دانشگاه اصفهان، گروه زمین شناسی

۳- دانشگاه پیام نور اصفهان، گروه زمین شناسی

۴- دانشگاه نارا تو، بخش علوم زمین (ژپن)

پست الکترونیکی: noushinbahadoran@yahoo.com

(دریافت مقاله ۱۳۸۵/۱۱/۱۶، نسخه نهایی ۱۳۸۶/۶/۲۴)

چکیده: منطقه عروسان کبودان در ۱۱۵ کیلومتری شمال شرق نایین (جنوب چوبان) واقع شده است و بخشی از زون ایران مرکزی (بلوک یزد) است. سنگ‌های آتشفشنای این منطقه مربوط به زمان ائوسن، و شامل گدازه‌ها و سنگ‌های آذرآواری است. گدازه‌ها به دو گروه اسیدی (ریوداسیت) و نسبتاً بازیک و بازیک (تراکی آندزیت، موژه آریت و هاوائی ایت) تقسیم می‌شوند. بافت این سنگ‌ها اغلب تراکیتی، هیالوبورفیریتیک و پوئی کلیتیک است. کانی‌های پلازیوکلاز (آلبیت تا آندزین)، فلدسپار قلیایی (سانیدین-Or:65-86%-Kلینوپیروکسن (دیوپسید تا اوژیت)، میکا (بیوتیت تا فلوگوپیت)، آمفیبول (هورنبلند هاستینگزیتی منیزیم‌دار تا هاستینگزیت منیزیم-دار)، و کلریت (برونسویگیت) در این سنگ‌ها با ریزپردازنه آنالیز شدند. شواهد ژئوشیمیایی و ویژگی‌های کانی‌شناسی دلالت بر ماهیت کالک قلیایی سنگ‌های اسیدی و سرشت شوشوونیتی سنگ‌های بازیک منطقه دارد. محیط زمین ساختی که سنگ‌های آتشفشنای این ناحیه در آن شکل گرفته‌اند، احتمالاً یک کمان مانگماهی وابسته به فرورانش (در حاشیه خردقاره شرق ایران مرکزی) است.

واژه‌های کلیدی: سنگ‌های آتشفشنای، کانی‌شناسی، شیمی کانی‌ها، عروسان کبودان.

ترکیب کانی‌ها در واحدهای مختلف مجموعه آتشفشنای غرب عروسان کبودان مورد سنجش قرار گرفت تا با استفاده از نتایج حاصل، سرشت مانگماهی و نیز برآورده از موقعیت زمین‌ساختی مانگماهی مجموعه عروسان صورت گیرد.

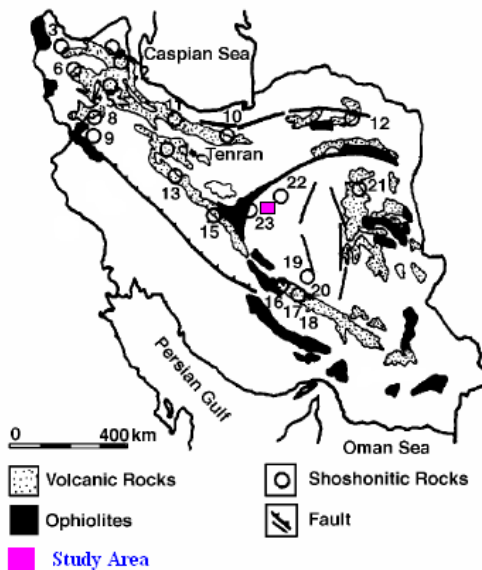
روش مطالعه

به منظور دسترسی به اهداف این کار، نخست بررسی صحرایی و نمونه برداری انجام گرفت، سپس مقاطع نازک و نازک صیقلی تهیه شد. در مرحله بعد با استفاده از ریز پردازندۀ Jeol مدل 8800R JXA-8800R در دانشگاه Naruto ژپن، ۱۳۲ نقطه مورد آنالیز قرار گرفت. آنالیزها در شرایط ولتاژستاب دهنده ۱۵KV، شدت جریان ۱۵nA و زمان شمارش ۴۰ ثانیه صورت پذیرفت (منتخبی از نتایج این آنالیزها در جدول‌های ۱ تا ۵ آورده شده است). در ترسیم نمودارهای مختلف از نرم افزار PaintShop 2.02 و MinPet استفاده شد.

مقدمه

دوران سنتوزئیک در ایران، دوران اوج فعالیت‌های مانگماهی به ویژه فعالیت‌های آتشفشنای بوده است که محصول این فعالیت‌ها سنگ‌های آتشفشنای و آذرآواری فراوان در مناطق مختلف ایران است. بخش مهمی از سنگ‌های اسیدی و شوشوونیتی منطقه ایران مرکزی نیز مربوط به این زمانند [۱] (شکل ۱). اهمیت فعالیت‌های مانگماهی ائوسن ایران مرکزی از یک سو و فقدان داده‌های کانی‌شناسی و ژئوشیمیایی از سنگ‌های منطقه خور از سوی دیگر، انگیزه اصلی این پژوهش است.

در این مقاله به بررسی شیمی کانی‌های موجود در سنگ‌های آتشفشنای منطقه غرب عروسان کبودان پرداخته می‌شود. در مطالعات کانی‌شناسی، یکی از راه‌های مهم و اساسی بررسی ترکیب شیمیایی کانی‌ها، استفاده از نتایج آنالیزهای ریزپردازیده است. در این کار پژوهشی با استفاده از این روش،



شکل ۱ موقعیت ناحیه مورد مطالعه در نقشه پراکندگی شوشونیت‌های ایران [۵].

جدول ۱ نتایج آنالیز ریزپردازشی بلورهای پیروکسن (برای تدقیک میزان Fe^{3+} و Fe^{2+} از روش عنصر سنجی [۲۴] استفاده شده است).

شماره نقطه	۱۴۱-۱	۲۴-۱	۱۴۲	۳۳-۱	۳۳-۲	۱۳۰-۱	۱۳۰-۲	۲۴-۲	۱۴۱-۲	۲۳
SiO_2	۵۱,۸۳۳	۵۲,۷۸۱	۵۰,۸۶۱	۵۲,۳۱۶	۵۲,۹۵۵	۵۳,۶۶۲	۵۲,۹۰۸	۵۰,۲۳۶	۵۱,۳۶۵	۵۲,۱۱۹
TiO_2	۰,۳۵۷	۰,۳۷۱	۰,۶۳۱	۰,۴۴۴	۰,۴۲۱	۰,۰۲۵	۰,۰۵۴	۰,۱۱۲	۰,۵۳۱	۰,۲۸۹
Al_2O_3	۱,۹۸۱	۱,۵۹۲	۲,۹۲۷	۱,۹۳۲	۱,۵۲	۰,۴۳۹	۰,۵۱۸	۲,۳۴۶	۲,۰۵۲	۱,۴۵۲
FeO	۷,۱۷۲	۴,۶۴	۷,۹۸	۵,۹۴۶	۵,۷۸۸	۷,۵۵۵	۸,۹۳۵	۸,۱۱۸	۸,۰۰۸	۵,۳۶۳
Cr_2O_3	۰	۰,۱۶۹	۰	۰	۰,۰۱	۰,۰۲۳	۰,۰۱۸	۰,۰۵۱	۰	۰,۰۱۸
MnO	۰,۳۵۶	۰,۰۸۳	۰,۲۷۷	۰,۱۴۶	۰,۱۷۶	۰,۵۶	۰,۵۲۹	۰,۱۵۵	۰,۳۴۱	۰,۱۳۹
NiO	۰	۰,۰۳	۰,۰۲۳	۰	۰	۰,۰۱	۰,۰۰۲	۰,۰۵۲	۰	۰
MgO	۱۶,۰۲۸	۱۷,۰۲۷	۱۴,۹۶۱	۱۶,۰۰۳	۱۶,۳۵۳	۱۳,۷۵۱	۱۳,۵۴	۱۴,۵۶۸	۱۶,۶۶۸	۱۶,۶۵۲
CaO	۲۱,۳۰۵	۲۲,۶۸۸	۲۲,۱۴	۲۲,۷۵۵	۲۲,۶۵۹	۲۴,۰۱۴	۲۲,۲۶۲	۲۲,۱۱۱	۲۰,۷۳۳	۲۲,۶۶۸
Na_2O	۰,۳۱۲	۰,۴۱۶	۰,۲۹۸	۰,۳۲۶	۰,۳۵۷	۰,۱۰۱	۰,۰۲۹	۰,۴۴۷	۰,۲۶۷	۰,۲۸۶
K_2O	۰,۰۲۷	۰	۰,۰۰۱	۰	۰,۰۱۲	۰	۰,۰۴۱	۰	۰,۰۰۱	۰,۰۲۲
Total	۹۹,۳۷	۹۹,۸۰۷	۹۹,۱۱	۹۹,۹۶۱	۹۹,۹۶۱	۹۹,۱۴	۹۹,۰۲	۹۹,۸۶۱	۹۹,۹۶۷	۱۰۰,۰۱
Mg#	۸۶,۳۲۸	۹۳,۹۲۱	۸۵,۱۲۴	۸۹,۲۶	۸۸,۸۲۲	۷۶,۴۰۳	۷۲,۹۸۶	۸۶,۲۶۶	۸۸,۰۵۴	۸۹,۳۷
TSi	۱,۹۱۸	۱,۹۲۷	۱,۸۷۸	۱,۹۱۹	۱,۹۳۶	۱,۹۹۸	۱,۹۹۷	۱,۸۶	۱,۸۸۹	۱,۹۴۳
TAI	۰,۰۸۲	۰,۰۶۸	۰,۱۲۲	۰,۰۸۱	۰,۰۶۴	۰,۰۰۲	۰,۰۰۳	۰,۱۴	۰,۰۸۹	۰,۰۵۷
TFe ³	۰	۰,۰۰۴	۰	۰	۰	۰	۰	۰	۰,۰۲۲	۰
M1Al	۰,۰۰۴	۰	۰,۰۰۶	۰,۰۰۳	۰,۰۰۱	۰,۰۱۷	۰,۰۲	۰,۰۰۶	۰	۰,۰۰۵
M1Ti	۰,۰۱	۰,۰۱	۰,۰۱۸	۰,۰۱۲	۰,۰۱۲	۰,۰۰۱	۰,۰۰۲	۰,۰۲	۰,۰۱۵	۰,۰۰۸
M1Fe ³	۰,۰۸۱	۰,۰۷۷	۰,۱۰۲	۰,۰۷۷	۰,۰۶۵	۰	۰	۰,۱۲۵	۰,۱	۰,۰۵۶
M1Fe ²	۰,۰۲	۰	۰,۰۰۵	۰,۰۲۸	۰,۰۳۱	۰,۲۱۸	۰,۲۱۶	۰,۰۴۲	۰	۰,۰۲۲
M1Cr	۰	۰,۰۰۵	۰	۰	۰	۰,۰۰۱	۰,۰۰۱	۰,۰۰۱	۰	۰,۰۰۱
M1Mg	۰,۸۸۴	۰,۹۰۷	۰,۸۲۴	۰,۸۸۱	۰,۸۹۱	۰,۷۶۳	۰,۷۶۲	۰,۸۰۴	۰,۸۸۵	۰,۹۰۸
M1Ni	۰	۰,۰۰۱	۰,۰۰۱	۰	۰	۰	۰	۰,۰۰۲	۰	۰
M2Mg	۰	۰,۰۲	۰	۰	۰	۰	۰	۰	۰,۰۲۹	۰
M2Fe ²	۰,۱۲	۰,۰۶	۰,۰۹۴	۰,۰۷۸	۰,۰۸۱	۰,۰۱۷	۰,۰۶۶	۰,۰۱۶	۰,۱۲۴	۰,۰۸۶
M2Mn	۰,۰۱۱	۰,۰۰۳	۰,۰۰۹	۰,۰۰۵	۰,۰۰۵	۰,۰۱۸	۰,۰۱۷	۰,۰۰۵	۰,۰۱۱	۰,۰۰۴
M2Ca	۰,۸۴۵	۰,۸۸۸	۰,۸۷۶	۰,۸۹۴	۰,۸۸۷	۰,۹۵۸	۰,۹	۰,۸۷۷	۰,۸۱۷	۰,۸۸۸
M2Na	۰,۰۲۲	۰,۰۲۹	۰,۰۲۱	۰,۰۲۳	۰,۰۲۵	۰,۰۰۷	۰,۰۱۵	۰,۰۳۲	۰,۰۱۹	۰,۰۲
M2K	۰,۰۰۱	۰	۰	۰	۰,۰۰۱	۰	۰,۰۰۲	۰	۰,۰۰۱	۰
Wo	۵۱,۸۳۳	۵۲,۷۸۱	۵۰,۸۶۱	۵۲,۳۱۶	۵۲,۹۵۵	۴۸,۵۲۶	۴۵,۹۰۷	۴۵,۲۲۸	۴۱,۱	۰,۲۱۵
En	۰,۳۵۷	۰,۳۷۱	۰,۶۳۱	۰,۴۴۴	۰,۴۲۱	۳۸,۶۶۲	۳۸,۸۴۹	۴۱,۴۶۲	۴۵,۹۷۴	۴۶,۲۱۶
Fs	۱,۹۸۱	۱,۵۹۲	۲,۹۲۷	۱,۹۳۲	۱,۵۲	۱۲,۸۱۱	۱۵,۲۴۴	۱۳,۳۱۱	۱۲,۹۲۵	۸,۵۶۹

جدول ۲ نتایج آنالیز ریزپردازشی بلورهای فلدسپار (برای تفکیک میزان Fe^{3+} و Fe^{2+} از روش عنصرسنگی [۲۴] استفاده شده است).

شماره نقطه	۲۵-۱	۲۵-۲	۱۳۰	۲۵-۳	۱۴۱-۱	۱۴۱-۲	۲۳-۱	۲۳-۲	۲۶-۱	۲۶-۲
SiO_2	۶۳,۶۱	۶۲,۷۳۳	۵۹,۹۷۸	۶۱,۱۲۲	۶۸,۴۶۱	۶۸,۰۳۳	۶۳,۴۳۲	۶۴,۲۸	۵۶,۸۸۸	۶۲,۳۹۵
TiO_2	.	۰,۰۵۲	.	۰,۰۱۳	.	.	۰,۱۵۱	۰,۰۲۲	۰,۰۳۴	.
Al_2O_3	۲۳,۱۵۸	۲۳,۴۳۳	۲۵,۳۲۶	۲۴,۱۲۲	۲۰,۴۸۶	۱۹,۷۶	۱۹,۷۰۷	۱۸,۴۹۵	۲۶,۶۷۴	۲۳,۰۳
FeO	۰,۱۱۳	۰,۱۱۶	۰,۰۴۳	۰,۱۳۳	۰,۰۸۷	۰,۰۱۶	۰,۱۰۸	۰,۱۱۲	۰,۲۷۴	۰,۱۰۶
MnO	۰,۰۱	۰,۰۸۴	.
MgO	.	.	۰,۰۰۹	۰,۰۰۲
CaO	۴,۲۱۳	۴,۶۶۷	۶,۶۴۳	۵,۷۴۵	۰,۴۳۲	۰,۲۲۷	۰,۰۰۲	۰,۰۶۶	۹,۲۱	۴,۸۷۴
Na_2O	۸,۷۵۲	۸,۳۲۳	۷,۳۹۶	۷,۸۸۲	۱۲,۰۸۲	۱۱,۴۶۴	۳,۵۷۹	۱,۶۸۹	۵,۸۴	۷,۷۲۸
K_2O	۰,۹۱۵	۰,۸۱۴	۰,۲۴۸	۰,۶۲۷	۰,۰۵	۰,۰۵۲	۱۱,۸۳۵	۱۵,۶۷۳	۰,۳۷۸	۱,۰۸۴
Total	۱۰۰,۷۷	۱۰۰,۱۴	۹۹,۶۴	۹۹,۶۵	۱۰۱,۰۵۸	۹۹,۰۵۵	۹۹,۸۱	۱۰۰,۳۲	۹۹,۱۹	۹۹,۴۹
% An	۲۰	۲۲,۵	۳۲,۷	۲۷,۷	۱,۲	۱,۱	۴,۶	۰,۳	۴۵	۲۴,۲
Si	۲,۷۷۸	۲,۷۹۸	۲,۶۷۷	۲,۷۲۸	۲,۹۵۴	۲,۹۸۴	۲,۹۱۴	۲,۹۷۱	۲,۵۷۳	۲,۷۸۱
Al	۱,۲۲۲	۱,۲	۱,۳۳۱	۱,۲۶۸	۰,۰۴۱	۰,۰۲۱	۱,۰۶۶	۱,۰۰۷	۱,۴۲۱	۱,۲۲۳
Ti	۰,۰۰۲	۰,۰۰۵	۰,۰۰۱	۰,۰۰۱	.	.
Fe2	۰,۰۰۴	۰,۰۰۴	۰,۰۰۲	۰,۰۰۵	۰,۰۰۳	۰,۰۰۱	۰,۰۰۴	۰,۰۰۴	۰,۰۱	۰,۰۰۴
Mn	۰,۰۰۳	.
Mg	.	.	۰,۰۰۱
Ca	۰,۲۲۱	۰,۱۹۹	۰,۳۱۸	۰,۲۷۵	۰,۰۲	۰,۰۱۱	۰,۰۴۹	۰,۰۰۳	۰,۴۳۷	۰,۲۳۳
Na	۰,۷۱۵	۰,۷۴۷	۰,۶۴	۰,۶۸۲	۰,۰۰۹	۰,۹۷۵	۰,۳۱۹	۰,۱۵	۰,۵۱۲	۰,۶۶۸
K	۰,۰۴۶	۰,۰۵۱	۰,۰۱۴	۰,۰۳۶	۰,۰۰۳	۰,۰۰۳	۰,۶۹۴	۰,۹۲۴	۰,۰۲۲	۰,۰۶۲
Ab	۷۲,۸	۷۴,۹	۶۵,۸	۶۸,۷	۹۷,۸	۹۸,۶	۳۰	۱۳,۹	۵۲,۷	۶۹,۴
Or	۴,۷	۵,۱	۱,۴	۳,۶	۰,۳	۰,۳	۶۵,۳	۸۵,۸	۲,۳	۶,۴

جدول ۳ نتایج آنالیز ریزپردازشی بلورهای آمفیبول (برای تفکیک میزان Fe^{3+} و Fe^{2+} از روش پیشنهادی [۲۵] استفاده شده است).

شماره نقطه	۱۳۲-۱	۱۳۱-۲	۳۳-۱	۲۶-۱	۲۶-۲	۳۵-۱	۳۵-۲	۳۳-۲	۲۶-۳	۱۳۲-۲
SiO_2	۵۲,۰۷۲	۵۰,۹۸۹	۳۹,۶۲	۴۵,۱۵۶	۴۲,۴۴۲	۴۲,۱۷۱	۴۲,۶۳۱	۴۱,۰۳۶	۴۲,۹۸۹	۵۰,۱۹۹
TiO_2	۰,۲۱۱	۰,۶۴۷	۲,۵۸۸	۱,۶۰۳	۱,۴۴۶	۱,۷۲۶	۲,۰۶۱	۱,۸۸۱	۱,۳۲۱	۰,۷۲۵
Al_2O_3	۲,۴۷۷	۳,۱۵۵	۱۲,۶۵۸	۸,۹۸۲	۱۱,۵۳۴	۱۱,۹۵۸	۱۲,۲۸۲	۱۲,۲۲۲	۱۱,۹۲۳	۳,۲۸۵
FeO	۱۶,۴۳۲	۱۷,۰۵۲	۱۷,۰۹۳	۱۴,۷۹۳	۱۲,۷۷۵	۱۱,۴۶	۱۳,۴۴۶	۱۵,۱۲۱	۱۳,۸۸۵	۱۷,۱۶۳
Cr_2O_3	.	۰,۰۲۵	.	۰,۰۳	۰,۰۳۸	۰,۰۰۸	۰,۰۳۱	.	۰,۴۲	۰,۱۷
MnO	۰,۴۸۹	۰,۴۱۲	۰,۳۵۶	۰,۳	۰,۲۰۷	۰,۲	۰,۲۸۸	۰,۲۶۴	۰,۳۰۱	۰,۴۵۱
MgO	۱۳,۴۵۷	۱۳,۳۳۱	۱۰,۳۶۶	۱۲,۹۲۵	۱۲,۰۳۲	۱۵,۰۷۵	۱۲,۴۴	۱۱,۳۷۶	۱۲,۵۳۵	۱۲,۷۹۵
CaO	۱۱,۶۳۸	۱۱,۷۳۷	۱۱,۳۷۴	۱۰,۹۵۹	۱۱,۴۹۸	۱۱,۴۷	۱۱,۶۹۹	۱۱,۶۶	۱۱,۶۷۶	۱۱,۲۱۳
Na_2O	۰,۴۱۷	۰,۶۲۷	۱,۸۸۸	۱,۷۷۸	۲,۰۳۳	۲,۱۹۹	۱,۸۰۶	۲,۰۱۱	۲,۰۶۶	۰,۸۲۹
K_2O	۰,۲۳۴	۰,۳۳	۲,۰۸۲	۱,۰۴۳	۱,۱۶۵	۱,۲۹۸	۱,۳۱۶	۱,۷۸	۱,۰۲۳	۰,۳۸۴
Total	۹۷,۴۳	۹۸,۳۵	۹۸,۰۲	۹۷,۵۷	۹۶,۹۷	۹۸,۵۷	۹۸	۹۷,۳۵	۹۷,۷۶	۹۷,۹۹
Mg #	۰,۶۷۵	۰,۶۶۹	۰,۶۰۹	۰,۷۲۷	۰,۷۲۷	۰,۸۶۷	۰,۷۰۲	۰,۶۳۵	۰,۷۰۹	۰,۶۵۶
Si	۷,۵۷۵	۷,۳۹	۵,۹۵۳	۶,۶۰۶	۶,۳۷۱	۶,۱۸	۶,۲۴۸	۶,۱۵۵	۶,۳۰۷	۷,۴۰۵
Ti	۰,۰۲۳	۰,۰۷۱	۰,۲۹۲	۰,۱۷۶	۰,۱۶	۰,۱۸۶	۰,۲۲۷	۰,۲۱۲	۰,۱۴۶	۰,۰۷۹
Aliv	۰,۴۲۴	۰,۰۳۹	۲,۰۴۷	۱,۳۹۴	۱,۶۲۹	۱,۸۲	۱,۷۵۲	۱,۸۴۵	۱,۶۹۳	۰,۵۷۷
Alvi	.	.	۰,۱۹۳	۰,۱۵۴	۰,۳۷۳	۰,۱۹۶	۰,۳۶۸	۰,۳۱۳	۰,۳۶۷	.
Cr	.	۰,۰۰۳	.	۰,۰۰۳	۰,۰۰۴	۰,۰۰۱	۰,۰۰۴	.	۰,۰۰۵	۰,۰۰۲
Fe^{3+}	۰,۵۹۱	۰,۶۴۲	۰,۶۵۸	۰,۷۴۹	۰,۵۰۱	۰,۸۸۵	۰,۴۹۳	۰,۴۳۵	۰,۵۸	۰,۶۳۲
Fe^{2+}	۱,۴۰۸	۱,۴۲۵	۱,۴۸۹	۱,۰۶۱	۱,۰۷۳	۰,۴۹۱	۱,۱۵۵	۱,۴۶۲	۱,۱۲۴	۱,۴۵۵
Mn	۰,۰۶	۰,۰۵۱	۰,۰۴۵	۰,۰۳۷	۰,۰۲۶	۰,۰۲۴	۰,۰۳۶	۰,۰۳۴	۰,۰۳۷	۰,۰۵۶
Mg	۲,۹۱۸	۲,۸۸۱	۲,۳۲۲	۲,۸۱۹	۲,۸۶۳	۳,۲۱۷	۲,۷۱۸	۲,۵۴۴	۲,۷۴۲	۲,۷۷۵
Ca	۱,۸۱۴	۱,۸۲۳	۱,۸۳۱	۱,۷۱۸	۱,۸۱۵	۱,۷۵۹	۱,۸۳۷	۱,۸۷۴	۱,۸۳۵	۱,۷۴۸
Na	۰,۱۱۸	۰,۱۸۹	۰,۵۵	۰,۵۰۴	۰,۵۸۱	۰,۶۱	۰,۵۱۳	۰,۵۸۵	۰,۵۸۸	۰,۲۳۴
K	۰,۰۴۳	۰,۰۸۱	۰,۳۹۹	۰,۱۹۵	۰,۲۱۹	۰,۲۳۷	۰,۲۴۶	۰,۳۴۱	۰,۱۹۱	۰,۰۷۱
Mg#	۰,۶۷۵	۰,۶۶۹	۰,۶۰۹	۰,۷۲۷	۰,۷۲۷	۰,۸۶۸	۰,۷۰۲	۰,۶۳۵	۰,۷۰۹	۰,۶۵۶

جدول ۴ نتایج آنالیز ریزپردازشی بلورهای بیوتیت (برای تفکیک میزان Fe^{3+} و Fe^{2+} براساس موازن بار الکتریکی مطابق با روش [۲۶] انجام شده است).

شماره نقطه	۱۳۰-۱	۱۳۰-۲	۲۲-۱	۲۲-۲	۳۵-۱	۳۵-۲	۳۴-۱	۳۴-۲	۲۵-۱	۲۵-۲
SiO_2	۳۶,۷۲۶	۳۶,۴۰۸	۳۸,۶۹	۳۷,۳۶۳	۳۸,۰۸۶	۳۷,۷۹۹	۳۸,۵۷۲	۳۸,۱۲۵	۳۷,۰۴۳	۳۷,۱۴۷
TiO_2	۴,۵۳۱	۴,۶۸۲	۱,۸۲۱	۳,۲۲۸	۲,۰۵۵	۲,۱۳۳	۱,۸۸۸	۱,۷۷۶	۳,۷۲۲	۳,۸۷۶
Al_2O_3	۱۳,۱۴	۱۲,۹۹۲	۱۴,۳۹۶	۱۴,۹۸۱	۱۵,۳۳۱	۱۵,۰۹۴	۱۴,۵۰۵	۱۴,۱۳۸	۱۴,۲۸۳	۱۴,۴۵۹
Cr_2O_3	-	۰,۰۲	۰,۰۷۶	۰,۰۸۱	۰,۰۲	۰,۰۲۴۱	۰,۰۴	۰,۰۹۸	۰,۰۳۸	۰,۰۲۴
FeO	۲۱,۳۰۶	۲۱,۴۴۳	۸,۵۴۴	۱۱,۷	۷,۳۸	۸,۰۴	۷,۱۶۷	۷,۰۲۲	۱۸,۳۲۵	۱۸,۴۲۴
MnO	۰,۲۱۱	۰,۲۳۲	۰,۰۳۵	۰,۱	-	۰,۰۲۵	۰,۰۷۸	۰,۰۳۸	۰,۰۲۰	۰,۰۲۵
MgO	۹,۸۲۶	۱۰,۲۲۲	۲۰,۸۳۸	۱۷,۶۰۹	۲۰,۵۷۲	۲۰,۹۹	۲۲,۱۷۲	۲۲,۳۵۷	۱۳,۲۸۴	۱۳,۲۷۶
CaO	-	-	۰,۰۵۱	-	۰,۰۵۷	۰,۰۱۹	۰,۰۷۶	۰,۰۶۵	-	-
Na_2O	۰,۱۱۹	۰,۰۸۹	۰,۴۲۶	۰,۴۶۱	۰,۶۷۴	۰,۶۴۲	۰,۳۵۹	۰,۲۳	۰,۵۱۱	۰,۴۹۵
K_2O	۱۰,۶۳۵	۱۰,۶۹۷	۱۰,۱۹۵	۱۰,۲۷۶	۱۰,۱۳۴	۱۰,۳۴۳	۹,۹۴۱	۱۰,۳۶	۱۰,۳	۱۰,۵۳
Total	۹۶,۴۹	۹۶,۷۹	۹۵,۰۷	۹۵,۷۵	۹۵,۱۲	۹۵,۲۴	۹۴,۷۶	۹۴,۲۴	۹۷,۷۱	۹۸,۴۷
Si	۵,۹۰۵	۵,۸۵	۵,۸۹۵	۵,۷۵۸	۵,۷۸۷	۵,۷۵۵	۵,۸۵۵	۵,۸۳۸	۵,۷۸۲	۵,۷۶
Ti	۰,۵۴۸	۰,۵۶۶	۰,۲۰۹	۰,۳۷۴	۰,۲۲۵	۰,۲۴۴	۰,۲۱۶	۰,۲۰۵	۰,۴۳۷	۰,۴۵۲
Aliv	۲,۰۹۵	۲,۱۵	۲,۱۰	۲,۲۴۲	۲,۲۱۳	۲,۲۴۵	۲,۱۴۵	۲,۱۶۲	۲,۲۱۸	۲,۲۴
Alvi	۰,۳۹۳	۰,۳۰۹	۰,۴۸۲	۰,۴۷۷	۰,۵۳	۰,۴۶۱	۰,۴۴۸	۰,۳۸۸	۰,۴۰۷	۰,۴۰۱
Cr	-	۰,۰۰۳	۰,۰۰۹	۰,۰۱	۰,۰۹۶	۰,۰۲۹	۰,۰۰۵	۰,۰۱۲	۰,۰۰۵	۰,۰۰۴
Fe^{3+}	۱,۰۴۹	۱,۱۷۷	۱,۰۳۵	۱,۳۴۴	۰,۹۱۴	۱,۰۰۱	۰,۸۹۳	۰,۹۰۳	۱,۴۳۶	۱,۴۶۶
Fe^{2+}	۱,۵	۱,۳۷۹	-	-	-	-	-	-	۰,۶۷۱	۰,۶۳۷
Mn	۰,۰۲۹	۰,۰۳۲	۰,۰۰۵	۰,۰۰۶	۰,۰۰۳	۰,۰۰۶	۰,۰۰۵	۰,۰۰۹	۰,۰۲۷	۰,۰۳
Mg	۲,۳۵۵	۲,۴۴۹	۴,۷۳۶	۰,۰۴۵	۴,۶۶	۴,۷۶۴	۵,۰۱۷	۵,۱۰۴	۳,۰۹۱	۳,۰۶۹
Ca	-	-	۰,۰۰۸	-	۰,۰۰۹	۰,۰۰۳	۰,۰۱۲	۰,۰۱۱	-	-
Na	۰,۰۳۷	۰,۰۲۸	۰,۱۲۶	۰,۱۳۸	۰,۱۹۹	۰,۱۹	۰,۱۰۶	۰,۰۶۸	۰,۱۰۵	۰,۱۴۹
K	۲,۱۸۱	۲,۱۹۳	۱,۹۸۳	۲,۰۲	۱,۹۶۴	۲,۰۰۹	۱,۹۲۵	۰,۰۲۴	۲,۰۵۱	۲,۰۸۳
Mg#	۰,۴۵	۰,۴۶	۰,۸۱	۰,۷۳	۰,۸۳	۰,۸۲	۰,۸۵	۰,۸۵	۰,۵۶	۰,۵۶
ASI	۱,۱۲۲	۱,۱۰۷	۱,۲۲۱	۱,۲۶	۱,۲۶۳	۱,۲۲۹	۱,۲۶۹	۱,۲۱۳	۱,۱۹	۱,۱۸۳

جدول ۵ نتایج آنالیز ریزپردازشی بلورهای کلریت (برای تفکیک میزان Fe^{3+} و Fe^{2+} از روش عنصرسنجی [۲۴] استفاده شده است).

شماره نقطه	۱۳۰-۳	۱۳۰-۲	۱۳۰-۱
SiO_2	۲۶,۸۲۴	۲۵,۸۱۹	۲۶,۴۳۵
TiO_2	۰,۰۱۶	۰,۰۷۵	۰,۰۵
Al_2O_3	۱۸,۰۵۳۱	۱۷,۸۷۹	۱۸,۶۰۴
Cr_2O_3	۰,۰۴۷	۰,۰۲۴	۰,۰۱۴
FeO	۲۸,۹۷۶	۲۹,۳۱۵	۲۹,۰۱۲
MnO	۰,۳۱	۰,۲۹۵	۰,۳۱۲
MgO	۱۲۹,۴۲	۱۲,۳۲۹	۱۳,۲۸۲
CaO	۰,۰۵۶	۰,۰۱۸	-
Na_2O	۰,۰۱۱	-	-
K_2O	۰,۱۱۵	۰,۱۷۲	۰,۰۵۷
Total	۸۷,۸۵	۸۶,۹۳	۸۷,۸۲
Mg#	۰,۴۵	۰,۴۵	۰,۴۵
Si	۵,۷۶۱	۵,۶۴۱	۵,۶۸
Ti	۰,۰۰۳	۰,۰۱۲	۰,۰۰۸
Aliv	۲,۲۳۹	۲,۳۵۹	۲,۲۲
Alvi	۲,۴۴۵	۲,۲۴۱	۲,۴
Cr	۰,۰۰۸	۰,۰۰۴	۰,۰۰۲
Fe^{2+}	۵,۲۰۱	۵,۳۵۶	۵,۲۱۳
Mn	۰,۰۵۶	۰,۰۵۵	۰,۰۵۷
Mg	۴,۱۴۱	۴,۳۴۱	۴,۲۵۵
Ca	۰,۰۱۳	۰,۰۰۴	-
Na	۰,۰۰۵	-	-
K	۰,۰۳۱	۰,۰۴۸	۰,۰۱۶

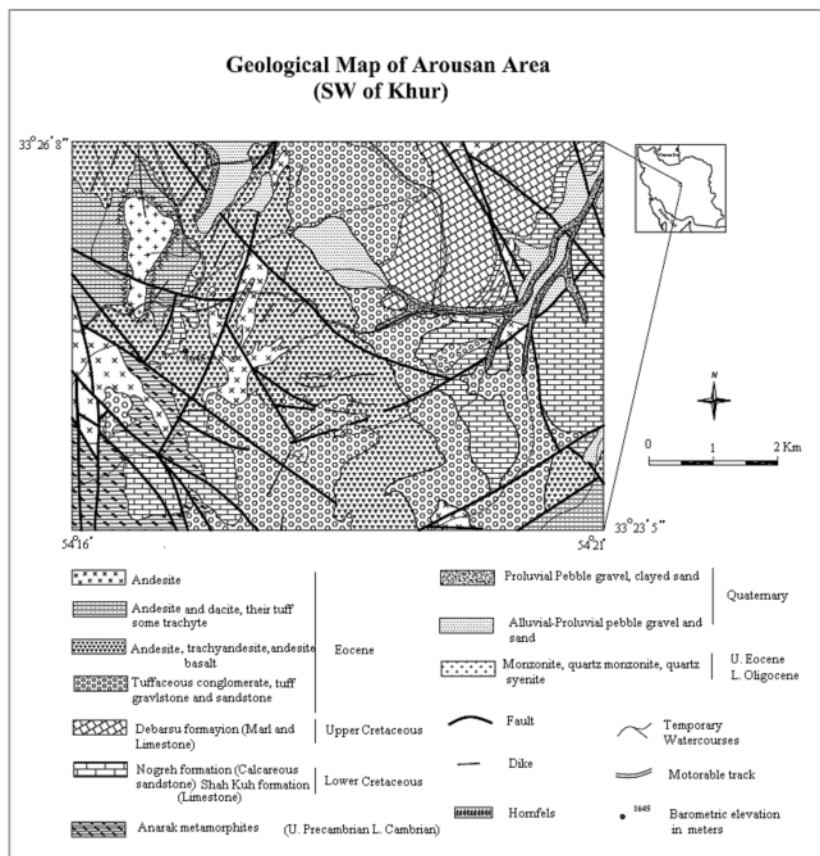
گسله با توده نفوذی کال کافی با سن ائوسن فوقانی - الیگوسن زیرین‌اند. توده‌های نفوذی یاد شده از نظر ترکیبی شامل گرانیت، گرانودیوریت، سینیت و مونزنوئیت هستند [۷].

سنگ‌شناسی و شیمی کانی‌ها

سنگ‌های آتشفسانی ناحیه عروسان از نظر ترکیب شیمیایی در دو طیف اسیدی (ریوداسیت) و نسبتاً بازیک- بازیک (تراکی آندزیت، موژه آریت و هاوائی ایت) قرار دارند. بافت غالب در این سنگ‌ها تراکیتی، هیالوپوروفیریک و پوئی کیلیتیک است. ریوداسیت‌ها از نظر کانی‌شناسی با مجموعه پلازیوکلاز، کوارتز، آمفیبول، و بیوتیت مشخص می‌شوند که فنوکریستهای کوارتز عموماً خلیجی شکل‌اند. گدازه‌های تراکی آندزیتی و موژه آریتی بیشتر از فنوکریستهای کلینوپیروکسن و پلازیوکلاز تشکیل شده‌اند که در برخی موارد بیوتیت یا آمفیبول نیز همراه با کلینوپیروکسن در سنگ حضور دارند. آپاتیت، اسفن و مانگنتیت به عنوان کانیهای فرعی در این سنگ‌ها کم و بیش مشاهده می‌شوند. کانی‌های ثانویه شامل سریسیت، کلریت، کلسیت و در مواردی اپیدوت هستند.

زمین‌شناسی عمومی منطقه

ناحیه مورد مطالعه در جنوب چوبانان (شمال شرق اصفهان)، بین طول‌های جغرافیایی $54^{\circ}30'$ الی $54^{\circ}54'$ شمالی و عرض‌های جغرافیایی $33^{\circ}23'$ الی $33^{\circ}26'$ شرقی واقع شده است. این منطقه جزئی از زون ساختاری ایران مرکزی (بلوک یزد) و زیر زون انارک - خورمحسوب می‌شود [۲، ۳]. واحدهای سنگی مورد مطالعه شامل سنگ‌های آتشفسانی و سنگ‌های آذرآواری وابسته است که بر اساس تعیین سن به روش K-Ar به ائوسن زیرین - میانی نسبت داده شده است [۴]. این سنگ‌ها در بخش‌های شمال غربی و جنوبی دارای مرز زمین ساختی با مجموعه دگرگونی انارک‌اند. این مجموعه دگرگونه موسوم به شیستهای انارک، قدیمی‌ترین سنگ‌های منطقه محسوب می‌شود، و منسوب به پره کامبرین - کامبرین زیرین است. سنگ‌های آتشفسانی در بخش شرقی با ناپیوستگی روی واحدهای ته نشستی کرتاسه زیرین قرار گرفته‌اند (شکل ۲). این واحدها شامل آهک‌های اریتولین‌دار با ضخامت قابل ملاحظه، مارن، ماسه سنگ و کنگلومرا هستند. سنگ‌های آهکی با ناپیوستگی زاویه‌دار مشخصی روی تشکیلات پالئوزوئیک قرار گرفته‌اند. همچنین سنگ‌های آتشفسانی در بخش غربی دارای همبrij



شکل ۲ نقشه زمین‌شناسی ساده شده منطقه [۶].

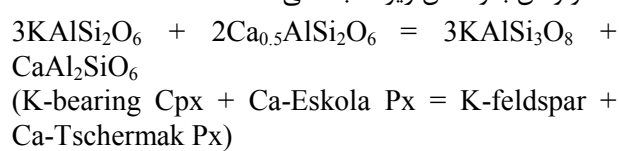
نامبرده همچنین عقیده دارد و اکنش شاره‌های غنی از عناصر قلیایی با کلینوپیروکسن نیز می‌تواند با ادخالهای فراوان فلدسپار قلیایی منجر به تشکیل کلینوپیروکسن اسفنجی شوند. با توجه به اینکه فرایند اول (اکسلوشن) و فرایند دوم (واکنش در نقطه پری تکتیک) در مورد سنگ‌های دگرگون فشار بالا (UHP)، مطرح شده است، تعمیم آن برای گدازه‌های این ناحیه منطقی نیست، و شایسته است که تشکیل کلینوپیروکسن‌های اسفنجی به واکنش شاره‌های غنی از عناصر قلیایی نسبت داده شود.

برخی از بلورهای کلینوپیروکسن دارای منطقه بندي عادي هستند (شکل ۳- ب). در مطالعات SEM معلوم شد که فنوکريستهای اين کانی علاوه بر منطقه‌بندي كامل، در مواردی منطقه‌بندي ناقص (Patchily Zonation) نيز نشان مي‌دهند. برای بررسی دقیق منطقه‌بندي کلینوپیروکسن‌ها از یک نمونه (Elemental Mapping) تهیه شد (شکل ۴). با توجه به نوسانهای مهم سه عنصر آلومینیم، تیتانیم، و آهن، تغییرات این عناصر در تهیه نقشه نشان می‌دهد که میزان آهن از مرکز به حاشیه افزایش یافته که موید منطقه‌بندي عادي در اين کانی است. همچنین میزان آلومینیم و تیتانیم نيز با آهنگ یکنواخت از مرکز به حاشیه افزایش یافته است.

پیروکسن

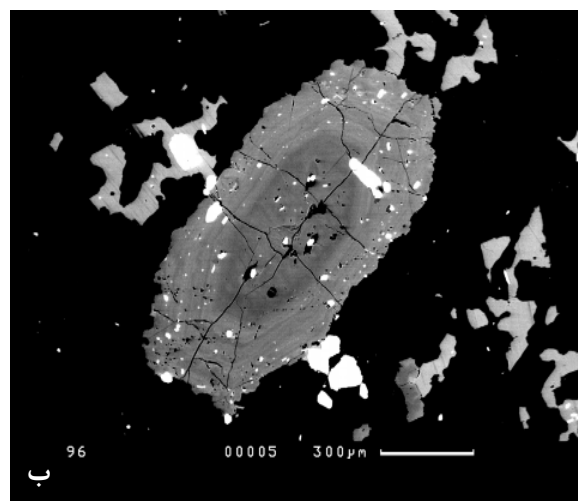
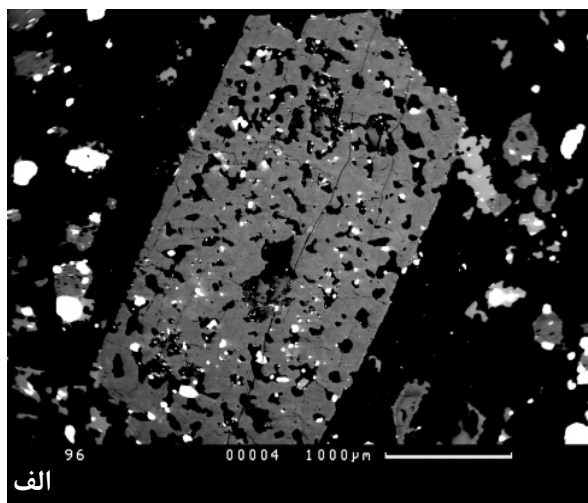
تمامی پیروکسن‌ها در سنگ‌های آتشفشانی ناحیه عروسان از نوع کلینوپیروکسن است که بيشتر به صورت فنوکريستهای شکل دار مشاهده می‌شوند. کلینوپیروکسن‌ها پس از پلازیوکلاز به عنوان فراوان‌ترین کانی در سنگ‌های بازيک منطقه حضور دارند. برخی از فنوکريستهای اين کانی (به ويره موژه آريت ها) دارای بافت اسفنجی هستند که در آنها ادخالهای فراوانی از فلدسپارهای قلیایی در پیروکسن‌ها مشاهده می‌شود (شکل ۳-الف)، به طور کلي وجود شكلهای قطره مانند فلدسپار قلیایي درون بلورهای کلینوپیروکسن پديده رايжи نیست، حتی می-

توان ادعا کرد اين پديده در سنگ‌های آذرین نادر است. دو ساز و کار برای تشکيل کلینو پیروکسن‌های اسفنجی معرفی شده- اند. نخست، پژوهشگرانی نظير [۸] که آنرا به يك فرایند اكسولوشن با واکنش زير نسبت مي‌دهند.

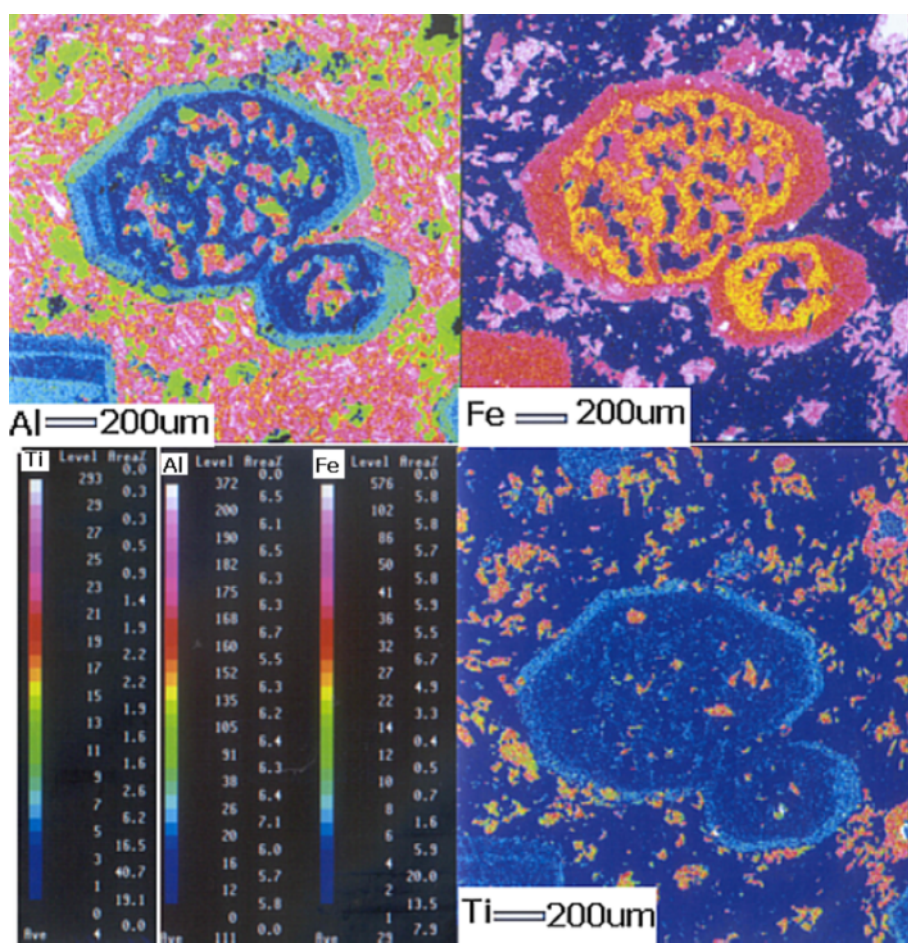


دوم، [۹] برپايه داده‌های ترموديناميکی در بررسی واکنش ياد شده معتقد است که، اين واکنش به دليل عدم وجود مولفه Ca - Eskola انجام شدنی نیست. وي در توجيه اين پديده اعتقاد دارد که تشکيل اين گونه کلینوپیروکسن‌ها به واسطه واکنش زير در نقطه پری تکتیک صورت پذيرفته است.

فلدسپارپتاسیک + دیوبسید = مذاب + کلینوپیروکسن پتاسیم‌دار



شکل ۳ (الف) تصویر BSE از بافت اسفنجی در فنوکريست دیوبسید، نفوذیهایی به رنگ تیره متتشکل از فلدسپار قلیایی و انکلوزیونهای روشن، ماغنتیت می‌باشد. (ب) تصویر BSE از منطقه‌بندي عادي در بلور دیوبسید.



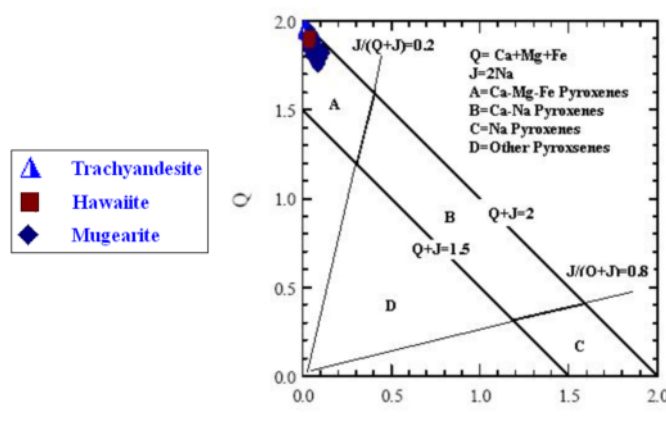
شکل ۴ نقشه توزیع عنصری از فنوكریست اسفنجی دیوپسید موجود در گدازه موژه آرتی که با ریزپردازندۀ الکترون تهیه شده است. چنانکه دیده می‌شود، میزان آلومینیم، تیتانیم و آهن از مرکز به حاشیه افزایش می‌یابد.

ماگمایی به کار بردۀ شده، می‌توان دریافت که اغلب نمونه‌ها در گستره نیمه قلیایی قرار دارند، و برخی از نمونه‌های موجود در موژه آرتی‌ها در قلمرو قلیایی قرار گرفته‌اند [۱۳].

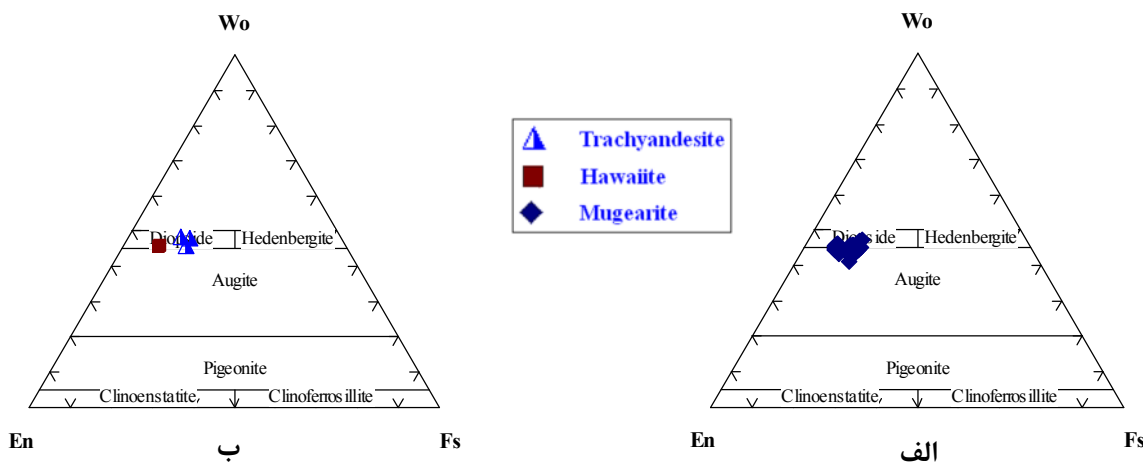
به منظور تعیین محیط زمین ساختی تشکیل این سنگ‌ها از نمودار ($F_1 - F_2$) استفاده شد [۱۴]. چنانکه که در (شکل ۷-ب) نشان داده شد بخش بزرگ نمونه‌ها در قلمرو کمانهای ماگمایی و بخش کمتری در قلمرو مشترک کمانهای ماگمایی و فوران‌های کف اقیانوسی واقع شده‌اند که با توجه به بررسی‌های صحرایی و میزان بالای پتاسیم، محیط کف اقیانوسی، برای نمونه‌های مورد مطالعه منطقی نیست. همچنین شواهد ژئوشیمیایی سنگ کل مبین آن است که سنگ‌های ماگمایی منطقه در یک کمان ماگمایی وابسته به فرورانش که در حاشیه خرده قاره شرق - ایران مرکزی تشکیل شده است، به وجود آمده‌اند [۱۶].

همه پیروکسن‌های منطقه در نمودار $J-Q-J$ [۱۰] در قلمرو پیروکسن‌های آهن - منیزیم - کلسیم قرار گرفته‌اند (شکل ۵). ترکیب شیمیایی کلینوپیروکسن‌ها در نمودار $Wo-En-Fs$ [۱۰] نشان داده شده است. ترکیب این کانی‌ها در تراکی آندزیت‌ها و هاوائی ایتها همخوان با تقسیم‌بندی [۱۰] در گستره دیوپسید (در تقسیم‌بندی [۱۱]: سالیت) ولی در موژه آرتی‌ها از دیوپسید تا اوژیت در نوسان است (شکل ۶).

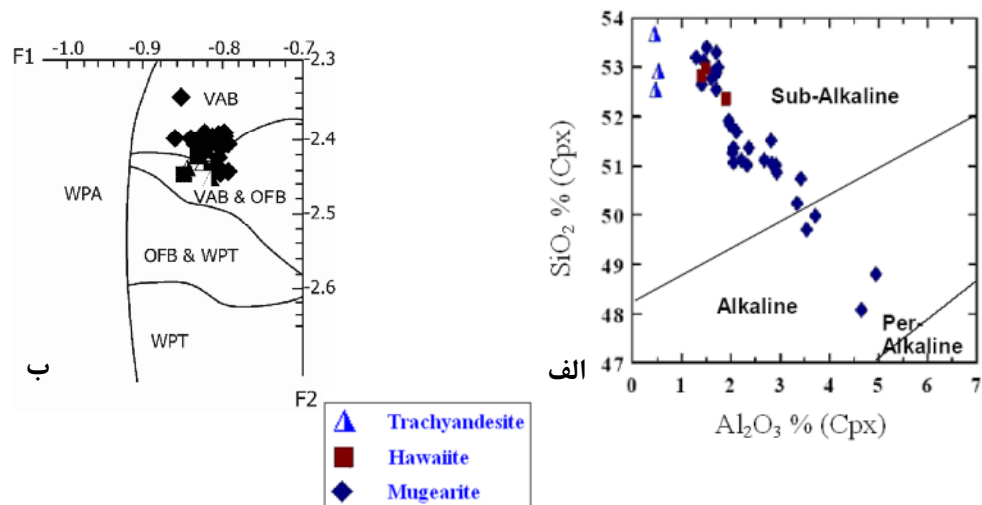
بررسی میزان MgO موجود در پیروکسن‌ها نشان داد که تراکی آندزیت‌ها نسبت به موژه آرتی‌ها و هاوائی ایتها از MgO کمتری برخوردارند که می‌توان آن را به دمای پایین تر تشکیل آنها نسبت داد. ترکیب کلینوپیروکسن‌ها به ترکیب شیمیایی و محیط تشکیل گدازه‌های میزان بستگی دارد و به همین دلیل به عنوان یک معیار مناسب برای تشخیص محیط زمین ساختی تشکیل سنگ‌ها کاربرد گسترده‌ای دارد [۱۲] تا [۱۵]. با مشاهده (شکل ۷-الف) که برای تعیین سری‌های



شکل ۵ نمایش ترکیب پیروکسن‌های منطقه در نمودار J - Q . $J = 2\text{Na}$ و $Q = \text{Ca} + \text{Mg} + \text{Fe}^{2+}$ [۱۰]



شکل ۶ نمایش ترکیب شیمیایی کلینو پیروکسن در نمودار مثلثی Wo-En-Fs [۱۰] (الف) موژه آریت (ب) تراکی آندزیت و هاوائی ایت.



شکل ۷ (الف) استفاده از کانی کلینو پیروکسن برای تعیین سری ماقمایی [۱۳] (ب) تعیین موقعیت زمین‌ساختی ماقمایی سنگ‌های آتشفسانی ناحیه با استفاده از ترکیب کلینو پیروکسن [۱۴].

$$F1 = -(0.012 * \text{SiO}_2) - (0.0807 * \text{TiO}_2) + (0.0026 * \text{Al}_2\text{O}_3) - (0.0012 * \text{FeOt}) - (0.0026 * \text{MnO}) + (0.0087 * \text{MgO}) - (0.0128 * \text{CaO}) - (0.0419 * \text{Na}_2\text{O})$$

$$F2 = -(0.0469 * \text{SiO}_2) - (0.0818 * \text{TiO}_2) + (0.0212 * \text{Al}_2\text{O}_3) - (0.0041 * \text{FeOt}) - (0.1435 * \text{MnO}) + (0.0029 * \text{MgO}) - (0.0085 * \text{CaO}) - (0.016 * \text{Na}_2\text{O})$$

گاهی دارای منطقه‌بندی پیچیده هستند. در بعضی از آنها حواشی بلور دارای خوردگی است که می‌توان آن را به تغییرات فشار و عدم تعادل شیمیایی هنگام خروج گذاره نسبت داد. ترکیب پلازیوکلاز سنگ‌های آتشفشنانی ناحیه مورد مطالعه در گستره نسبتاً گسترده‌ای از آلیت تا آندزین در نوسان است. ترکیب فلدسپار موجود در ریوداسیت‌ها عموماً در گستره الیگوکلاز و در برخی موارد تا آندزین (An:18-29) است (شکل ۹). در عین حال این کانی در تراکی آندزیت‌ها در حاشیه بلور با ترکیب An~29 مشخص می‌شود و در مرکز بلور به An~32 می‌رسد.

ب) فلدسپار قلیایی

فلدسپار قلیایی علاوه بر شکلهای فنوکریست و ریز بلورهای زمینه، به صورت ادخال نیز درون کلینوپیروکسن‌های با ساختار اسفنجی (به ویژه در موزه آریت‌ها) مشاهده می‌شود. در همه این موارد ترکیب آن، از آلیت با خلوص بالا (An:1-3%) (An:1-3%) و یا سانیدین (Or:65-86%) تشکیل شده است.

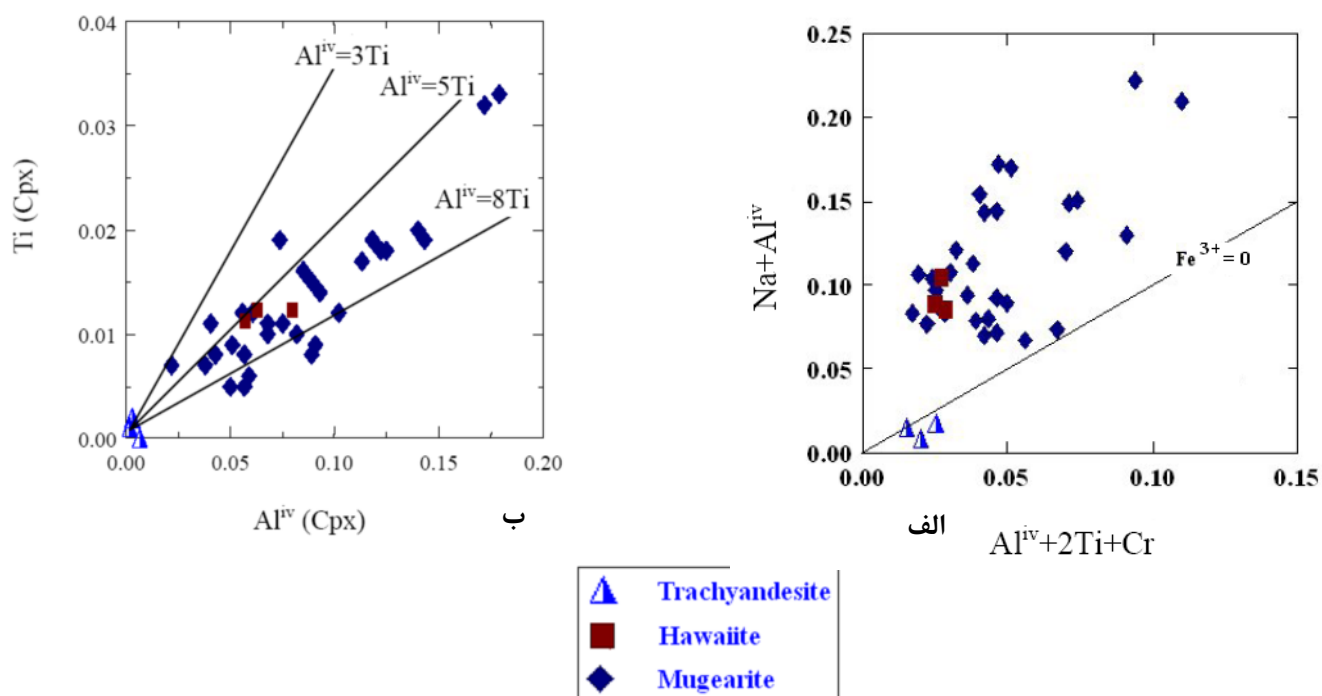
میزان آهن فریک پیروکسن‌ها تابعی از فوگاسیته اکسیژن محیط تشکیل دهنده آنهاست [۱۷]. با توجه به (شکل ۸-الف) نمونه‌های مربوط به موزه آریت‌ها و هاوائی ایت‌ها در بالای خط قرار دارد که حاکی از بالا بودن فوگاسیته اکسیژن در $\text{Fe}^{3+} = 0$ محیط تشکیل این سنگ‌هاست، در صورتی که نمونه‌های مربوط به تراکی آندزیت‌ها در پایین این خط واقع شده‌اند که بیانگر پایین بودن فوگاسیته اکسیژن در محیط بوده است. در (شکل ۸-ب) کلینو پیروکسن‌ها در واحدهای سنگی مختلف منطقه در نمودار Ti بر حسب Al مقایسه شده‌اند. چنانکه مشاهده می‌شود تراکی آندزیت‌ها در مقایسه با موزه آریت‌ها و هاوائی ایت‌ها دارای کمترین میزان Ti هستند که با شیمی سنگ کل مطابقت می‌کند و باز تابی است از قلیایی شدن بالاتر موزه آریت‌ها و هاوائی ایت‌ها.

فلدسپار

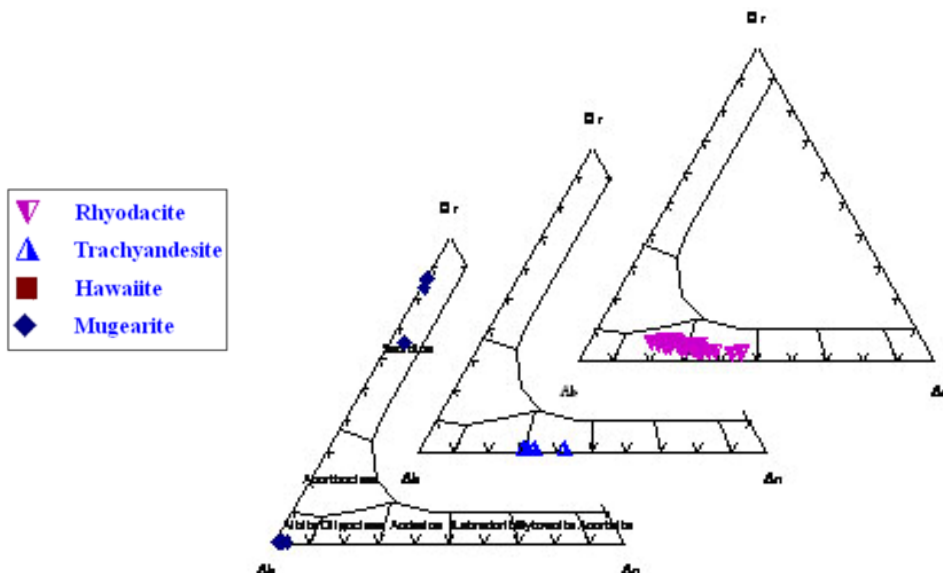
فلدسپار به عنوان فراوان‌ترین کانی در سنگ‌های منطقه به شمار می‌رود و شامل فلدسپار قلیایی و پلازیوکلاز است.

الف) پلازیوکلاز

این کانی علاوه بر انواع فنوکریست، در زمینه نیز یافت می‌شوند. فنوکریست‌های پلازیوکلاز اغلب دارای منطقه‌بندی و



شکل ۸ (الف) تعیین فوگاسیته اکسیژن در محیط تشکیل کلینو پیروکسن‌ها [۱۷]. نمونه‌های بالای خط $\text{Fe}^{3+} = 0$ (موزه آریت‌ها و هاوائی ایت‌ها) فوگاسیته بیشتری در محیط تشکیل داشته‌اند. ب) نمودار تغییرات $\text{Ti}-\text{Aliv}$. تراکی آندزیت‌ها نسبت به سنگ‌های دیگر، Ti -کمتری دارند.



شکل ۹ نمایش ترکیب فلدسپارهای منطقه عروسان روی نمودار مثلثی ارتوز - آلتیت - آنورتیت [۱۸].

نمودار [۲۱] نیز نشان می‌دهد که همه میکاها می‌موجود در هاوائی ایتها از نوع فلوگوپیت‌اند. ولی در مورد تراکی آندزیت‌ها و ریوداسیت‌ها ملاحظه می‌شود که همه میکاها از نوع بیوتیت آهن‌دار و بیوتیت منیزیم دارند (شکل ۱۱-ب). این تغییر ترکیب کانی‌شناسی را می‌توان به بالاتر بودن میزان MgO در ماقماهی هاوائی ایتها نسبت داد [۱۸]. همچنین با توجه به آنکه حضور فلوگوپیت در گدازه‌های بازیک مستلزم فشار بالاتری نسبت به حضور بیوتیت در گدازه‌های اسیدی است، لذا می‌توان نتیجه گرفت که ماقماهی سازنده هاوائی ایتها نسبت به ریوداسیت و تراکی آندزیت‌ها از عمق بیشتر (فشار بیشتر) ریشه گرفته‌اند.

از بیوتیت‌ها برای تعیین محیط زمین ساختی سنگ‌های آتشفشنای این ناحیه استفاده شد. با توجه به (شکل ۱۲) مشخص است، که ترکیب بیوتیت‌ها در قلمرو ماقماهای کالک‌قلیایی محصول فرورانش است.

شاخص اشباع شدگی آلومینیم ASI (نسبت مولکولی $Al_2O_3/CaO + Na_2O + K_2O$) میکاها این ناحیه در تراکی آندزیت‌ها و هاوائی ایتها به میزان چشمگیری پایین است (۱/۱-۱/۳)، که بازتابی از فعالیت پایین آلومینیم در ماقماهی سازنده آنهاست [۲۲]. در همین حال درجه اشباع آلومینیم در ریوداسیت‌ها به نحو چشمگیری بالا است (۱/۹-۲/۱). بالا بودن درجه اشباع آلومینیم در داسیت‌ها می‌تواند ناشی از پایین بودن میزان K_2O در آنها باشد (شکل ۱۳).

آمفیبول

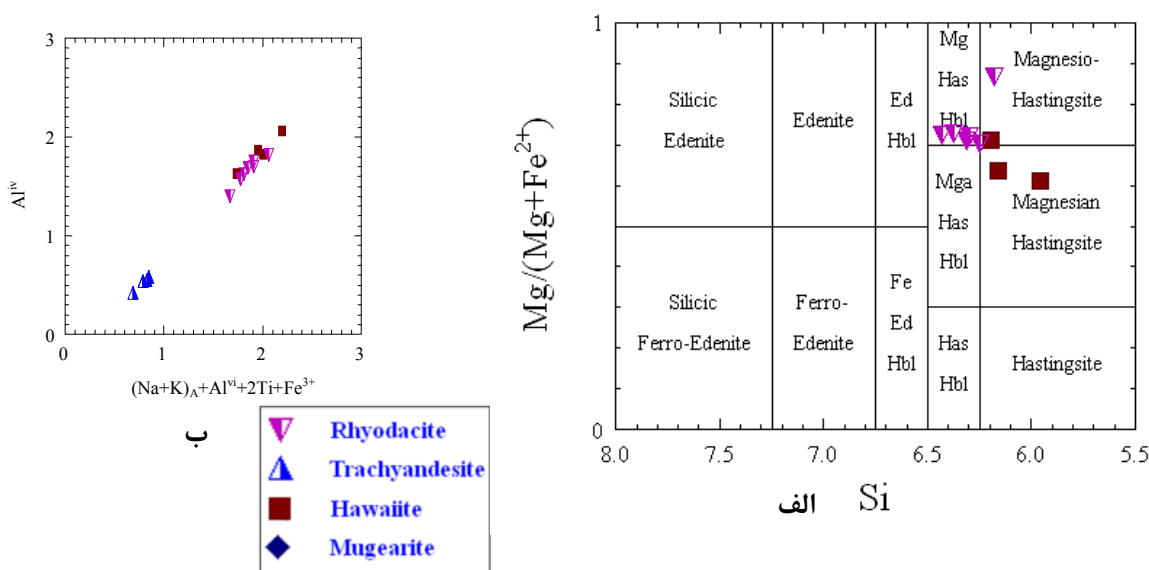
آمفیبول‌ها غیر از در موذه‌آریت‌ها، در همه واحدهای آتشفشنای ناحیه عروسان یافت می‌شوند. ترکیب این کانی بنابر تقسیم-بندی [۱۹] از نوع کلسیک است. این کانی در داسیت‌ها و تراکی آندزیت‌ها از نوع هورنبلندر هاستینگزیتی منیزیم دار^۱ است و در هاوائی ایتها ترکیب به سمت هاستینگزیت منیزیم دار^۲ تغییر می‌یابد (شکل ۱۰-الف). این نکته نشان دهنده میزان FeO بیشتر در ساختار آمفیبول هاوائی ایتها است. نسبت $Mg/(Mg + Fe^{2+})$ در آمفیبول‌های این ناحیه از ۰/۵۴ تا ۰/۷۳ در نوسان است. در (شکل ۱۰-ب) تغییرات ترسیم $(Na + K)_A + 2Ti + Al^{vi} + Fe^{3+}$ نسبت به Al^{iv} شده است و در آن رابطه خطی بسیار خوبی مشاهده می‌شود، که حاکی از توع ترکیب آمفیبول‌های ناحیه مورد مطالعه تابع میزان Al^{iv} است [۲۰].

میکا

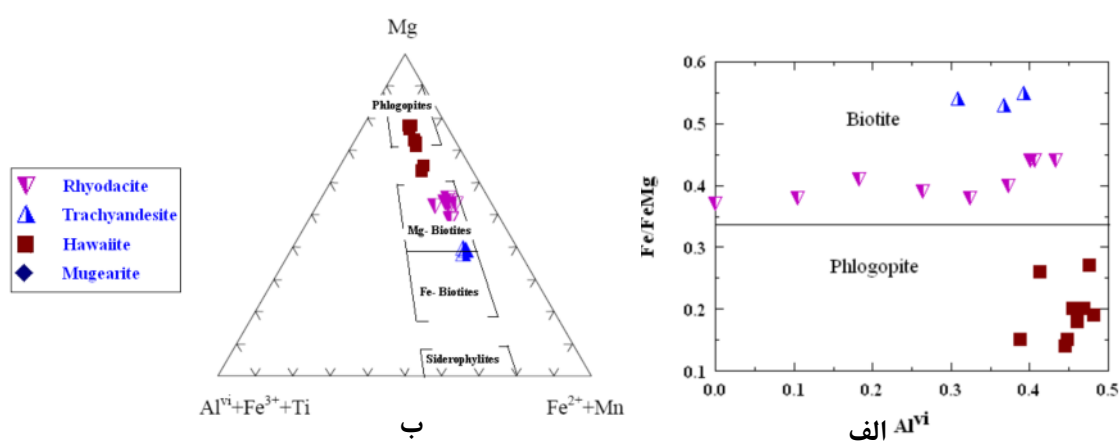
میکا یکی از کانی‌های رایج در تمامی سنگ‌های آتشفشنای منطقه مورد مطالعه است. این کانی اغلب به شکل بلورهای شکل دار تا نیمه شکل دار دیده می‌شود. میکاها موجود در ریوداسیت‌ها و تراکی آندزیت‌ها از نوع بیوتیت است، در حالیکه ترکیب این کانی در هاوائی ایتها در گستره فلوگوپیت قرار می‌گیرد (شکل ۱۱-الف). ردیابی میکاها منطقه بر پایه

1-Magnesian Hastingsitic Hornblende

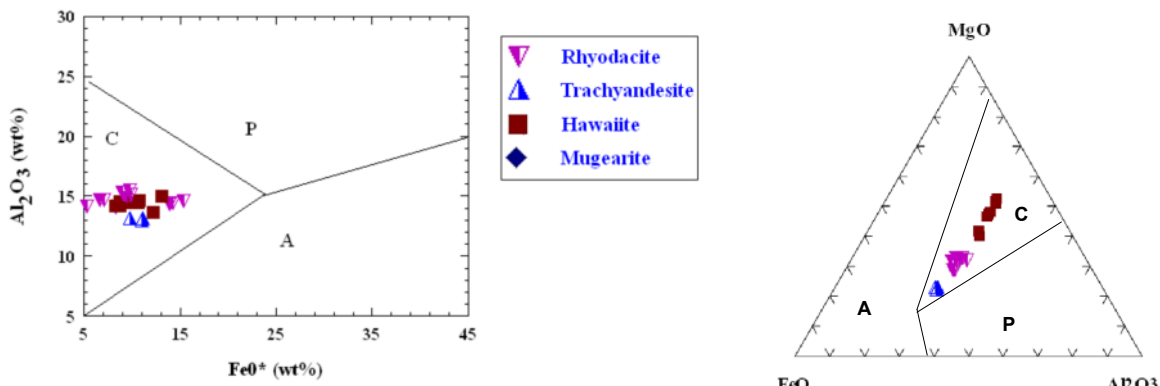
2-Magnesian Hastingsite



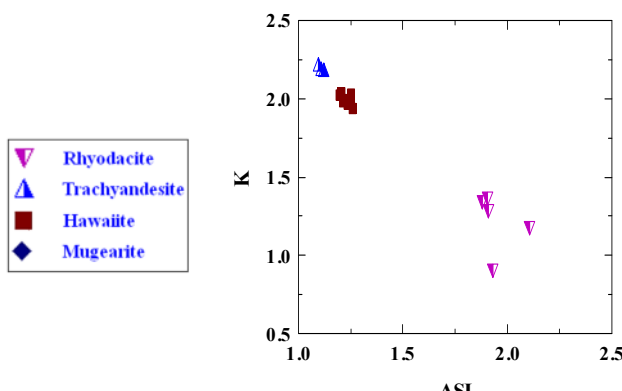
شکل ۱۰ (الف) ردهبندی آمفیبول های گستره مورد بررسی [۱۹] ب) روند تغییرات ترکیب شیمیایی آمفیبول های ناحیه عروسان [۲۰].



شکل ۱۱ (الف) ردهبندی میکاهای منطقه مورد مطالعه در نمودار [۱۸] تمامی ریوداسیت‌ها و تراکی آندزیت‌ها در گستره بیوتیت قرار گرفته‌اند.
ب) ردهبندی ژئوشیمیایی میکاهای بر پایه [۲۱].



شکل ۱۲ استفاده از ترکیب شیمیایی میکاهای در تعیین موقعیت تکتونو ماقمایی گذاره های منطقه [۲۲] همه نمونه‌ها در گستره C (ماگماهای کالک قلیابی نواحی کوهزایی) واقع شده‌اند. گستره‌های A و P به ترتیب مربوط به نواحی کافتی و برخوردگاهها را نشان می‌دهند.



شکل ۱۳ نمایش تغییرات شیمیایی پتاسیم نسبت به شاخص اشباع شدگی آلومینیم و کمترین مقدار پتاسیم می‌باشد.

فرورانش باشد. مطالعات ژئوشیمیایی سنگ کل بیانگر آن است که سنگ‌های آتشفشنای گستره مورد بررسی در یک کمان ماقمایی وابسته به فرورانش، در حاشیه خردۀ قاره شرق - ایران مرکزی تشکیل شده است.

-۲- ترکیب بلورهای پلاژیوکلاز از آلبیت (در موژه آریت) تا الیگوکلاز (ریوداسیت‌ها) و در نهایت آندزین (تراکی آندزیت‌ها) در نوسان است. مطالعات انجام شده حاکی از منطقه‌بندی خفیف و عادی در بلورهای پلاژیوکلاز است.

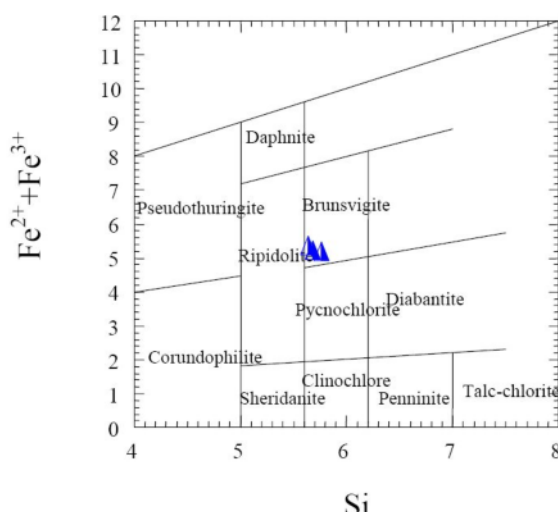
-۳- آمفیبول‌های ناحیه از نوع کلسیک بوده و ترکیب آنها بین هورنبلند هاستینگزیتی منیزیم‌دار تا هاستینگزیت منیزیم‌دار در نوسان است.

-۴- بلورهای میکا دارای ترکیبی از بیوتیت (ریوداسیت‌ها) و تراکی آندزیت‌ها) تا فلوگپیت (هاوایی ایت‌ها) هستند. شاخص اشباع شدگی پایین آلومینیم در میکای موجود در تراکی آندزیت‌ها و هاوایی ایت‌ها، حاکی از فعالیت پایین آلومینیم در ماقمایی سازنده است.

کلریت
کلریت‌های موجود در سنگ‌های منطقه، محصول دگرسانی کانی‌های فرومیزین نظری کلینوپیروکسن، آمفیبول، و بیوتیت هستند. در برخی از نمونه‌های ریوداسیتی، آمفیبول‌ها و بیوتیت‌ها تقریباً به طور کامل به کلریت تبدیل شده‌اند. کلریت‌های ناحیه بر پایه نمودار پیشنهادی [۱۸] از نوع برونسویگیت هستند (شکل ۱۴).

برداشت

۱- ترکیب کلینوپیروکسن‌ها در تراکی آندزیت و هاوایی ایت‌ها، دیوپسید، و در موژه آریت، دیوپسید تا اوپسید است. میزان فوگالسیته اکسیژن در محیط تشکیل تراکی آندزیت‌ها، پایین است حال آنکه در محیط تشکیل موژه آریت و هاوایی ایت نسبتاً بالا بوده است. ترکیب شیمیایی کلینوپیروکسن‌ها نشانگر محیط نیمه قلیایی تا قلیایی برای گدازه‌های ناحیه مطالعه است. بر همین پایه محیط زمین ساختی موثر در شکل گیری آتشفشنای ناحیه، می‌تواند یک کمان ماقمایی وابسته به



شکل ۱۴ تعیین ترکیب کلریت‌های موجود در تراکی آندزیت‌های منطقه مطالعه [۱۸]. این کلریت‌ها از نوع برونسویگیت هستند.

- [۱۶] بهادران، ن، "پترولوزی و زئو شیمی سنگهای ولکانیک منطقه غرب عروسان کبودان (جنوب چوبنان- شمال شرق اصفهان)"، پایان نامه کارشناسی ارشد، دانشگاه اصفهان، ۱۲۰ صفحه (۱۳۸۶).
- [۱۷] Schweitzer E. L., Papike J. J., Bence A. E., "Statistical analysis of clinopyroxenes from deep-sea basalts", Am. Mineral., 64, (1979) 501-13.
- [۱۸] Deer W.A., Howie R.A., Zussman J., "An Introduction to the Rock - forming minerals", Longman, London, (1991) 528p.
- [۱۹] Leake B.E., Wolley A.R., Arps C.E.S., Birch W.D., Gilbert M.C., Grice J.D., Hawthorne F.C., Kato A., Kisch H.J., Krivovichev V.G., Linthout K., Laird J., Mandarino J., Maresch W.V., Nickel E.H., Rock N.M.S., Schumacher J.C., Smith D.C., Stephenson N.C.N., Ungaretti L., whittaker E.J.W.& Youzhi G., "Nomenclature of Amphiboles , Report of the subcommittee on Amphiboles of the international Mineralogical Association commission on new minerals and mineral names" , Eur. J.Mineral , 9: (1997) 623-651.
- [۲۰] Speer F.S., "An experimental study of hornblende stability and compositional variability in amphibolite", American Journal of science, 281: (1981) 679-734.
- [۲۱] Foster M.D., "Interpretation of the composition of trioctahedral micas", U.S. Geol.Surv.Prof .Pap. 354B: (1960) 11-49
- [۲۲] Abdel – Rahman A. M., "Nature of biotites from alkaline, Calc-alkaline and peraluminous magmas", J. Petrol., 35: (1994) 525 – 541
- [۲۳] Helmy H.M., Ahmed A.F., El Mahallawi M.M., Ali S.M., "Pressure, temperature and oxygen fugacity conditions of calc-alkaline granitoids, Eastern Desert of Egypt", and tectonic implications, J. of African Earth Science, 38, (2004) 255-268.
- [۲۴] Droop, G.T.R., "A general equation for estimating Fe^{3+} Concentration in ferromagnesian silicates and oxides from microprobe analysis, using stoichiometric criteria", Mineralogical Magazine, 51 :(1987) 431-435.
- [۲۵] Leake B.E., Wolley A.R., Arps C.E.S., Birch W.D., Gilbert M.C., Grice J.D., Hawthorne F.C., Kato A., Kisch H.J., Krivovichev V.G., Linthout K., Laird J., Mandarino J., Maresch W.V., Nickel E.H., Rock N.M.S., Schumacher J.C., Smith D.C., Stephenson N.C.N., Ungaretti L., whittaker E.J.W., Youzhi G., "Nomenclature of Amphiboles , Report of the subcommittee on Amphiboles of the international Mineralogical Association commission on new minerals and mineral names" Eur. J.Mineral , 9: (1997) 623-651.
- [۲۶] Yang X.M, Lentz D.R., "Chemical composition of rock-forming minerals in gold-related granitoid intrusions, southwestern New Brunswick, Canada: implications for crystallization conditions, volatile exsolution, and fluorine-chlorine activity", Contrib Mineral Petrol, 150: (2005) 287-305.

مراجع

- [۱] عطابور ح، "زمین‌شناسی، سنگ‌شناسی و ژئوشیمی سنگ-های شوشوستی ایران زمین"، سازمان زمین‌شناسی کشور، گزارش داخلی، (۱۳۷۳) ۱۴۱ ص.
- [۲] Aistov L., Melnikov B., Krivyakin B., Morozov L., "Geology of the Khur area (central Iran), Explanatory text of the Khur quadrangle", map 1:250,000, (1984).
- [۳] Alavi M., "Sedimentary and structural characteristics of the paleo – Tethys remnants in northeastern Iran, Geol", Soc. of Amer. Bull., 103: (1991) 983 – 992.
- [۴] Yakovenko V., Chinakov I., Kokorin Yu., Krivyakin B., "Report on detailed geological prospecting in Anarak Area (Kal-e Kafi-Khoni Locality)", V/O <<Technoexport>>, Rep. No.13, Moscow, (1981) 293 P.
- [۵] Aftabi A., Atapour H., "Regional aspects of shoshonitic volcanism in Iran", Epizodes Magazine, Vol. 23, no. 2: (2000) 119-125.
- [۶] Geological maps of Anarak (1/250,000), Kabudan (1/100,000): No. G7; No. H7; Sheet 6856, respectively, G.S.I., V/O "Technoexport", (1984).
- [۷] احمدیان ج، "پترولوزی و ژئوشیمی توده نفوذی کال کافی (شرق انارک) با تأثیری بر دگرسانی و کانی سازی مس (مولیبدن – طلا) مرتبط با آن" ، پایان نامه دکتری در دست تدوین، دانشگاه تربیت مدرس (۱۳۸۷).
- [۸] Luth, R.W., "Experimental study of the system phlogopite – diopside from 3.5 to 17 Gpa", Am. Mineral. 82: (1997) 1198-1209.
- [۹] Perchuk L.L., Safonov O.G., Yapaskurt V.O., Barton J.M., "Crystal-melt equilibria involving potassium-bearing clinopyroxene as indicator of mantle-derived ultrahigh-potassic liquids: an analytical review", Lithos 60 (2002) 89-111.
- [۱۰] Morimoto N., Fabrise J., Ferguson A., Ginzburg I.V., Ross M., Seifert F.A., Zussman J., Akoi K. and Gottardi,G., "Nomenclature of pyroxenes", Mineralogical Magazine, 52: (1988) 535 – 55.
- [۱۱] Poldervaart A., and Hess H. H., "Pyroxenes in the crystallization of basaltic magma", J. Geol., Vol. 59, P. 472 (1951).
- [۱۲] Kushiro I., "Si-Al relation in clinopyroxenes from igneous rocks", Am. J. Sci., 258: (1960) 548-554.
- [۱۳] LeBas N.J., "The role of aluminium in igneous clinopyroxenes with relation to their parentage", Am. J. Sci., 260, (1962) 267 – 88.
- [۱۴] Nisbet E. G. and Pearce J. A., "Clinopyroxene composition in mafic lavas from different tectonic setting", Ibid. 63, (1977) 149-60.
- [۱۵] Leterrier J., Maury R. C., Thonon P., Girard, D and Marchal M, "Clinopyroxene composition as a method of identification of the magmatic affinities of paleo-volcanic series", Earth. Planet. Sci. Lett., 59, (1982) 139-54.